

# 여러개의 층간분리가 있는 복합재 보의 자유진동 해석

## Vibration of Laminated Composites with Multiple Delaminations

김준식\*, 조명호 (인하대학교)

### 1. 서 론

복합재료는 높은 강도, 강성비로 인하여 다양한 분야에서 꾸준히 그 사용이 증가하고 있는 추세이다. 그러나 복합재의 기계적 특성은 외부적, 내부적 손상으로 인하여 많이 저하되므로 이에 대한 이해가 필수적이다. 그래서, 지금까지 복합재료의 파괴거동에 대한 이해와 모델링에 많은 연구가 수행되어 왔다. 이 손상들은 외부적 하중, 저속충격 그리고 제작과정중의 결함 등에 의하여 발생하게 된다.

층간분리는 복합재료 파괴현상중에서 가장 빈번하게 발생하는 것 중의 하나이다. 많은 연구자들이 층간분리에 대한 해석적, 실험적 방법으로 연구하여 왔다. 층간분리가 있는 복합재 보의 진동에 관한 초기 연구는 Wang[1]등에 의해 수행되었다. 복합재 보의 진동에서 층간분리가 미치는 영향을 Shen[2]등이 실험결과와 Timoshenko보 이론에 기초한 해석해를 비교하여 연구하였다. 최근에는 자유 진동 해석으로부터 복합재 보의 결함위치를 찾는 실현적, 수치적 연구가 Ratcliffe[3]등에 의해 수행되었다.

그러나, 일반적으로 층간분리가 있는 복합재 보는 분리부의 거동양상이 복잡하므로 이러한 거동을 잘 파악하기 위해서는 유한요소법이 적합하다. 유한요소법은 여러 가지 다양한 적층배열과 경계조건, 하중조건, 분리부의 기하학적인 형상과 위치 등에 관계없이 적용될 수 있는 강력한 수치방법이다. 그러나 층간분리부의 변형양상을 잘 표현하기 위해서는 준삼차원 또는 준삼차원 방법을 적용해야 한다. 그 예로서는 J.Lee[4]에 의한 층간세분화이론에 기초한 준삼차원 방법과 Seeley[5]등에 의한 벌칙함수를 이용한 유한요소기법이 있다. 그러나 이 방법들은 매우 방대

한 컴퓨터자원과 여러가지 수치적 난점이 있으므로 설계입장에서 반복 계산을 수행해야하는 경우에 제약이 많다. 그래서 M.Cho와 J.Kim에 의해 전체-국지 방법이 제안되었다[6]. 이 방법은 층간세분화 요소와 평판요소등을 결합함으로서 기억용량과 계산시간을 줄일 수 있는 가능성을 보였다. 그러나 이 방법 역시 분리부가 확장되는 경우나 분리부의 크기가 상대적으로 큰 경우에는 국지지역의 자유도의 수가 매우 커지므로 해석에 어려움이 있다.

본 연구에서는 효율적 고차이론 (EHOPT[7])의 변위장에 층간분리부를 기술할 수 있는 자유도를 추가하여 다층간분리부가 있는 일반적 층배열의 복합재료 적층평판의 자유진동을 해석할 수 있는 효율적인 고차 지그재그 이론을 제안한다. 본 이론은 다른 이론들과 비교하여 최소한의 자유도를 가지고 층간분리부의 문제를 다룰 수 있고 자유도가 매우 많은 층간세분화이론과 비교 할 수 있는 정확도를 가지기 때문에 실제 여러개의 층간분리가 있는 복합재의 진동해석을 할 때 효과적으로 적용할 수 있는 이론으로 생각되어진다. 수치예를 통하여 본 이론의 적용범위와 정확도, 그리고 효율성을 검증한다.

### 2. 다층간분리부를 가지는 고차 지그재그 이론

복합재료 적층판(그림 1)에 대하여 새로운 고차 지그재그 이론은 아래와 같이 층간분리 변수들이 추가되어 구성되어 질 수 있다.

$$u_\alpha = u_\alpha^0 + \psi_\alpha z + \xi_\alpha z^2 + \phi_\alpha z^3 + \sum_{k=1}^{N-1} S_\alpha^k(z - z_k)H(z - z_k)$$

$$+ \sum_{k=1}^{N-1} \bar{u}_\alpha^k H(z - z_k) \quad (1)$$

$$u_3 = w + \sum_{k=1}^{N-1} \bar{w}^k H(z - z_k)$$

여기서,  $N$ 은 복합재 적층판의 개수이고.  $H(z - z_k)$ 는 단위계단함수이다. 그리고,  $\bar{u}_\alpha$ 와  $\bar{w}^k$ 는 층간분리부의 면내 변위와 횡방향 변위를 나타낸다.

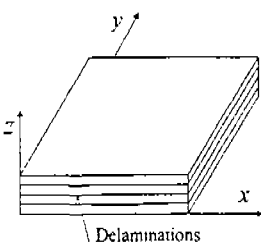


그림 1: 적층판의 형상

위의 변위장으로부터 횡방향 전단변형률은 다음과 같이 주어진다.

$$\begin{aligned} \gamma_{\alpha 3} &= u_{\alpha,3} + u_{3,\alpha} \\ &= v_\alpha + w_{,\alpha} + 2z\xi_\alpha + 3z^2\phi_\alpha \\ &+ \sum_{k=1}^{N-1} (S_\alpha^k + \bar{w}_{,\alpha}^k)H(z - z_k) \end{aligned} \quad (2)$$

횡방향 전단응력이 적층판의 위면과 아래면에서 0이라는 조건은 다음과 같다.

$$\gamma_{\alpha 3}|_{z=0} = 0, \gamma_{\alpha 3}|_{z=h} = 0 \quad (3)$$

이 조건을 식(1)로 주어진 변위장에 적용하면 다음과 같은 식을 얻을 수 있다.

$$\psi_\alpha + w_{,\alpha} = 0 \quad (4)$$

$$\xi_\alpha = -\frac{3h}{2} - \frac{1}{2h} \sum_{k=1}^{N-1} (S_\alpha^k + \bar{w}_{,\alpha}^k)H(z - z_k) \quad (5)$$

이 식을 식(2)에 대입하고 정리하면 다음과 같은 횡방향 전단변형률을 얻을 수 있다.

$$\gamma_{\alpha 3} = 3(z^2 - hz)\phi_\alpha \quad (6)$$

$$+ \sum_{k=1}^{N-1} (S_\alpha^k + \bar{w}_{,\alpha}^k) \left[ -\frac{z}{h} + H(z - z_k) \right]$$

횡방향 전단응력이 층의 경계면에서 연속이라는 조건으로부터 층간 회전각 변수들은 아래와 같이 얻어진다.

$$S_\alpha^k + \bar{w}_{,\alpha}^k = a_{\alpha\gamma}^k \phi_\gamma \quad (7)$$

식(4),(5) 그리고 식(7)을 식(1)에 대입하고 정리하면, 면내 변위장과 횡방향 변위장의 식은 아래와 같이 주어진다.

$$\begin{aligned} u_\alpha &= u_\alpha^0 - w_{,\alpha} z + z^2(z - \frac{3h}{2})\phi_\alpha - \frac{z^2}{2h} \sum_{k=1}^{N-1} a_{\alpha\gamma}^k \phi_\gamma \\ &+ \sum_{k=1}^{N-1} a_{\alpha\gamma}^k \phi_\gamma (z - z_k) H(z - z_k) \\ &- \sum_{k=1}^{N-1} (\bar{w}_{,\alpha}^k (z - z_k) - \bar{u}_\alpha^k) H(z - z_k) \end{aligned} \quad (8)$$

$$u_3 = w + \sum_{k=1}^{N-1} \bar{w}^k H(z - z_k)$$

여기서, 기준면은 적층판의 아래면이고,  $a_{\alpha\gamma}^k$ 는 횡방향 전단응력이 연속이라는 조건으로부터 계산되어지는 상수이다.

본 연구자들이 제안한 고차 지그재그 이론은 최소한의 변수로 임의의 적층배열과 층간분리부의 면내방향의 위치, 횡방향의 위치, 그리고 다층간분리부를 모두 표현할 수 있는 일반적인 변위장을 제공한다. 기준면의 변수와 층간분리부의 변수는 그림 2에 나타나 있다. 층간분리부의 변수를 제거하면 변위장은 M. Cho의 효율적 고차이론(EHOPT[7])과 같아진다.

층간분리부의 변수는 본 이론에서 각각의 경계면에서 모두 존재하는 것으로 전개하였으나, 유한요소법에 적용할 때는 어렵지 않게 실제하는 층간분리부의 수와 같은 자유도를 가지도록 할 수 있다.

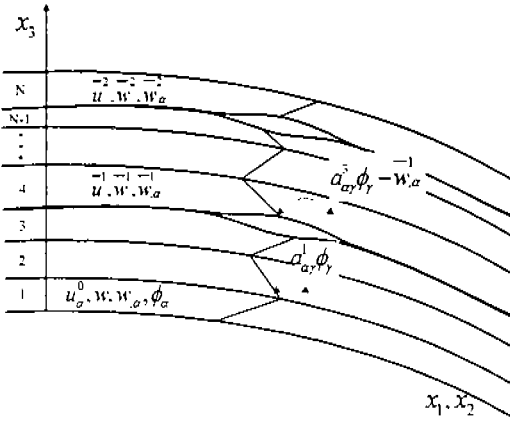


그림 2: 기준면의 변수와 층간분리부의 변수

### 3. 운동방정식과 경계조건

Hamilton's principle로부터 본 이론의 운동방정식과 경계조건을 구하였다. 밀도  $\rho$ 는 시간에 독립적이고, 임의의 분포 하중  $q$ 는 적층판의 기준면( $\Omega$ )에 가해진다고 가정하였다. Hamilton's principle으로부터

$$\int_0^t \left( \int_v \sigma_{ij} \delta \epsilon_{ij} dv - \int_v \dot{u}_i \delta \dot{u}_i dv - \int_{\Omega} q \delta w d\Omega \right) dt = 0 \quad (9)$$

본 이론의 운동방정식은 다음과 같이 기술되어 질 수 있고,

$$\begin{aligned} \delta u_{\alpha}^0 & : N_{\alpha\beta,\beta} - \ddot{N}_{\alpha} = 0 \\ \delta w & : M_{\alpha\beta,\alpha\beta} - \ddot{M}_{\alpha,\alpha} - \ddot{V} + q = 0 \\ \delta \phi_{\alpha} & : \hat{R}_{\alpha\beta,\beta} + \ddot{V}_{\alpha} - \ddot{\hat{R}}_{\alpha} = 0 \quad (10) \\ \delta \bar{u}_{\alpha}^k & : \ddot{N}_{\alpha\beta,\beta} - \ddot{\hat{N}}_{\alpha}^k = 0 \\ \delta \bar{w}^k & : \ddot{M}_{\alpha\beta,\alpha\beta} - \ddot{\hat{M}}_{\alpha,\alpha}^k - \ddot{Q}^k = 0 \end{aligned}$$

경계조건은 다음과 같이 주어진다.

$$\begin{aligned} N_{\alpha\beta}\nu_{\beta} & = 0 \quad \text{or} \quad \delta u_{\alpha}^0 = 0 \\ (M_{\alpha\beta,\beta} - \ddot{M}_{\alpha})\nu_{\alpha} & = 0 \quad \text{or} \quad \delta w = 0 \\ M_{\alpha\beta}\nu_{\beta} & = 0 \quad \text{or} \quad \delta w_{,\alpha} = 0 \\ \hat{R}_{\alpha\beta}\nu_{\beta} & = 0 \quad \text{or} \quad \delta \phi_{\alpha} = 0 \quad (11) \\ \bar{N}_{\alpha\beta}^k\nu_{\beta} & = 0 \quad \text{or} \quad \delta \bar{u}_{\alpha}^k = 0 \\ (\ddot{M}_{\alpha\beta,\beta}^k - \ddot{\hat{M}}_{\alpha}^k)\nu_{\alpha} & = 0 \quad \text{or} \quad \delta \bar{w}^k = 0 \\ \ddot{M}_{\alpha\beta}^k\nu_{\beta} & = 0 \quad \text{or} \quad \delta w_{,\alpha}^k = 0 \end{aligned}$$

여기서 기계적 결과들은 아래와 같고,

$$\begin{aligned} \ddot{R}_{\alpha\beta} & = R_{\alpha\beta}^{(3)} - \frac{3h}{2} R_{\alpha\beta}^{(2)} + \sum_{k=1}^{N-1} a_{\gamma\alpha}^k (\ddot{M}_{\gamma\beta}^k - \frac{1}{2h} R_{\gamma\beta}^{(2)}) \\ \left[ N_{\alpha\beta}, M_{\alpha\beta}, R_{\alpha\beta}^{(2)}, R_{\alpha\beta}^{(3)} \right] & = \int_0^h \sigma_{\alpha\beta} [1, z, z^2, z^3] dz \\ \left[ \ddot{N}_{\alpha\beta}^k, \ddot{M}_{\alpha\beta}^k \right] & = \int_0^h \sigma_{\alpha\beta} [1, (z - z_k)] H(z - z_k) dz \quad (12) \\ \ddot{V}_{\alpha} & = 3V_{\alpha}^{(2)} - 3h V_{\alpha}^{(1)} + \sum_{k=1}^{N-1} a_{\gamma\alpha}^k \left( Q_{\gamma}^k - \frac{1}{h} V_{\gamma}^{(1)} \right) \\ \left[ V_{\alpha}^{(1)}, V_{\alpha}^{(2)}, Q_{\alpha}^k \right] & = \int_0^h \sigma_{\alpha 3} [z, z^2, H(z - z_k)] dz \end{aligned}$$

관성 결과들은 다음과 같이 주어진다.

$$\begin{aligned} \ddot{\tilde{R}}_{\alpha} & = \ddot{R}_{\alpha}^{(3)} - \frac{3h}{2} \ddot{R}_{\alpha}^{(2)} + \sum_{k=1}^{N-1} a_{\gamma\alpha}^k \left( \ddot{M}_{\gamma}^k - \frac{1}{2h} \ddot{R}_{\gamma}^{(2)} \right) \\ \left[ \ddot{N}_{\alpha}, \ddot{M}_{\alpha}, \ddot{R}_{\alpha}^{(2)}, \ddot{R}_{\alpha}^{(3)} \right] & = \int_0^h \rho \ddot{u}_{\alpha} [1, z, z^2, z^3] dz \\ \left[ \ddot{\tilde{N}}_{\alpha}^k, \ddot{\tilde{M}}_{\alpha}^k \right] & = \int_0^h \rho \ddot{u}_{\alpha} [1, (z - z_k)] H(z - z_k) dz \\ \left[ \ddot{V}, \ddot{Q}^k \right] & = \int_0^h \rho \ddot{u}_3 [1, H(z - z_k)] dz \quad (13) \end{aligned}$$

### 4. 구성방정식

$k$ 번째 orthotropic lamina의 구성방정식은 다음과 같다.

$$\sigma_{\alpha\beta}^k = \bar{Q}_{\alpha\beta\gamma\omega}^k \epsilon_{\gamma\omega}^k, \quad \sigma_{\alpha 3}^k = \bar{Q}_{\alpha 3\beta 3}^k \gamma_{\beta 3}^k \quad (14)$$

$$\left\{ \begin{array}{l} N_{\alpha\beta} \\ M_{\alpha\beta} \\ R_{\alpha\beta}^{(2)} \\ R_{\alpha\beta}^{(3)} \\ \bar{M}_{\alpha\beta} \\ \bar{N}_{\alpha\beta} \end{array} \right\} = \left[ \begin{array}{cccccc} A_{\alpha\beta\gamma\omega}^{(0)} & A_{\alpha\beta\gamma\omega}^{(1)} & A_{\alpha\beta\gamma\omega}^{(2)} & A_{\alpha\beta\gamma\omega}^{(3)} & B_{\alpha\beta\gamma\omega}^{j(0)} & E_{\alpha\beta\gamma\omega}^{j(0)} \\ A_{\alpha\beta\gamma\omega}^{(1)} & A_{\alpha\beta\gamma\omega}^{(2)} & A_{\alpha\beta\gamma\omega}^{(3)} & A_{\alpha\beta\gamma\omega}^{(4)} & B_{\alpha\beta\gamma\omega}^{j(1)} & E_{\alpha\beta\gamma\omega}^{j(1)} \\ A_{\alpha\beta\gamma\omega}^{(2)} & A_{\alpha\beta\gamma\omega}^{(3)} & A_{\alpha\beta\gamma\omega}^{(4)} & A_{\alpha\beta\gamma\omega}^{(5)} & B_{\alpha\beta\gamma\omega}^{j(2)} & E_{\alpha\beta\gamma\omega}^{j(2)} \\ A_{\alpha\beta\gamma\omega}^{(3)} & A_{\alpha\beta\gamma\omega}^{(4)} & A_{\alpha\beta\gamma\omega}^{(5)} & A_{\alpha\beta\gamma\omega}^{(6)} & B_{\alpha\beta\gamma\omega}^{j(3)} & E_{\alpha\beta\gamma\omega}^{j(3)} \\ A_{\alpha\beta\gamma\omega}^{(4)} & A_{\alpha\beta\gamma\omega}^{(5)} & A_{\alpha\beta\gamma\omega}^{(6)} & A_{\alpha\beta\gamma\omega}^{(7)} & B_{\alpha\beta\gamma\omega}^{j(4)} & E_{\alpha\beta\gamma\omega}^{j(4)} \\ B_{\alpha\beta\gamma\omega}^{(0)} & B_{\alpha\beta\gamma\omega}^{(1)} & B_{\alpha\beta\gamma\omega}^{(2)} & B_{\alpha\beta\gamma\omega}^{(3)} & D_{\alpha\beta\gamma\omega}^{ij} & F_{\alpha\beta\gamma\omega}^{ij} \\ E_{\alpha\beta\gamma\omega}^{(0)} & E_{\alpha\beta\gamma\omega}^{(1)} & E_{\alpha\beta\gamma\omega}^{(2)} & E_{\alpha\beta\gamma\omega}^{(3)} & F_{\alpha\beta\gamma\omega}^{ij} & E_{\alpha\beta\gamma\omega}^{ij} \end{array} \right] \left\{ \begin{array}{l} \epsilon_{\gamma\omega}^{(0)} \\ \epsilon_{\gamma\omega}^{(1)} \\ \epsilon_{\gamma\omega}^{(2)} \\ \epsilon_{\gamma\omega}^{(3)} \\ \epsilon_{\gamma\omega}^j \\ \bar{\epsilon}_{\gamma\omega}^j \end{array} \right\} \quad (15)$$

$$\left\{ \begin{array}{l} \ddot{N}_\alpha \\ \ddot{M}_\alpha \\ \ddot{R}_\alpha^{(2)} \\ \ddot{R}_\alpha^{(3)} \\ \ddot{M}_\alpha^i \\ \ddot{N}_\alpha^i \end{array} \right\} = \left[ \begin{array}{cccccc} I_0^{(0)} & I_0^{(1)} & I_0^{(2)} & I_0^{(3)} & I_1^{(0)} & I_2^{(0)} \\ I_1^{(0)} & I_0^{(2)} & I_0^{(3)} & I_0^{(4)} & I_1^{(1)} & I_2^{(1)} \\ I_2^{(0)} & I_0^{(3)} & I_0^{(4)} & I_0^{(5)} & I_1^{(2)} & I_2^{(2)} \\ I_3^{(0)} & I_0^{(4)} & I_0^{(5)} & I_0^{(6)} & I_1^{(3)} & I_2^{(3)} \\ I_1^{(0)} & I_1^{(1)} & I_1^{(2)} & I_1^{(3)} & I_3^{ij} & I_4^{ij} \\ I_2^{(0)} & I_2^{(1)} & I_2^{(2)} & I_2^{(3)} & I_4^{ij} & I_5^{ij} \end{array} \right] \left\{ \begin{array}{l} \ddot{u}_\alpha^0 \\ -\ddot{w}_\alpha \\ \ddot{\phi}_\alpha \\ a_\alpha^j, \ddot{\phi}_\gamma, -\ddot{w}_\alpha \\ \ddot{u}_\alpha^j \end{array} \right\} \quad (16)$$

여기서,  $A, B, E, F, D$ 는 면내방향 강성행렬이고,  $I$ 는 면내방향 관성행렬이다.

여기서,  $\bar{Q}_{\alpha\beta\gamma\omega}^k$ 와  $\bar{Q}_{\alpha\beta\gamma\omega}^k$ 는 transformed reduced stiffness matrix이다.

식(14)에서 각 변형률은 다음과 같이 정의 하였다.

$$\epsilon_{\alpha\beta} = \epsilon_{\alpha\beta}^{(0)} + z\epsilon_{\alpha\beta}^{(1)} + z^2\epsilon_{\alpha\beta}^{(2)} + z^3\epsilon_{\alpha\beta}^{(3)} + \sum_{k=1}^{N-1} (\epsilon_{\alpha\beta}^k(z - z_k) + \bar{\epsilon}_{\alpha\beta}^k) H(z - z_k) \quad (17)$$

$$\gamma_{\alpha 3} = z\gamma_{\alpha 3}^{(1)} + z^2\gamma_{\alpha 3}^{(2)} + \sum_{k=1}^{N-1} \gamma_{\alpha 3}^k H(z - z_k)$$

식(8), (14), (17)을 식(12), (13)에 대입하고 정리하면 적층판의 구성방정식과 관성결과력은 면내방향과 면외방향에 대하여 각각 식(15), (18)과 식(16), (19)와 같이 구할 수 있다.

$$\left\{ \begin{array}{l} V_\alpha^{(1)} \\ V_\alpha^{(2)} \\ Q_\alpha^i \end{array} \right\} = \left[ \begin{array}{ccc} A_{\alpha 3\beta 3}^{(2)} & A_{\alpha 3\beta 3}^{(3)} & E_{\alpha 3\beta 3}^{j(1)} \\ A_{\alpha 3\beta 3}^{(3)} & A_{\alpha 3\beta 3}^{(4)} & E_{\alpha 3\beta 3}^{j(2)} \\ E_{\alpha 3\beta 3}^{i(1)} & E_{\alpha 3\beta 3}^{i(2)} & E_{\alpha 3\beta 3}^{ij} \end{array} \right] \left\{ \begin{array}{l} \gamma_{\beta 3}^{(1)} \\ \gamma_{\beta 3}^{(2)} \\ \gamma_{\beta 3}^{ij} \end{array} \right\} \quad (18)$$

$$\left\{ \begin{array}{l} \ddot{V} \\ \ddot{Q}^i \end{array} \right\} = \left[ \begin{array}{cc} I_0^{(0)} & I_2^{(0)} \\ I_2^{(0)} & I_5^{ij} \end{array} \right] \left\{ \begin{array}{l} \ddot{w} \\ \ddot{w}^j \end{array} \right\} \quad (19)$$

여기서,  $A, E$ 는 전단 강성 행렬이고,  $I$ 는 면외방향 관성행렬이다.

## 5. 수치예

본 연구에서 제안된 층간분리부를 가지는 고차 지그재그 이론에 기초한 다층간분리부가 존재하는 적층된 복합재 보의 자유 진동해석을 본 연구자들이 개발한 유한요소로 수행하였다.

수치예에 사용한 복합재료의 물성치는 표1에 나타나 있다.

표 1: 복합재 보의 물성치

$E_{11}$	$= 19.5 \times 10^6$ psi
$E_{22}$	$= 1.5 \times 10^6$ psi
$G_{12}$	$= 0.725 \times 10^6$ psi
$\nu_{12}$	$= 0.33$
$\rho$	$= 1.3821 \times 10^{-4}$ lb - s <sup>2</sup> /in <sup>4</sup>

복합재 외팔보의 형상, 적층배열, 그리고 층간분리의 위치는 그림 3에 나타나 있다. 고유 주파수는 모두 Hz 단위로 계산하였으며, Shen[2]의 실험결과 및 Timoshenko 보 이론에 기초한 해석해를 표 2-4에 본 연구자들에 의한 유한요소 해석결과와 비교하였다.

표 2-4에서 보듯이 본 연구의 유한요소 해석결과는 비교 자료와 층간분리의 위치 그리고 크기에 따라 잘 일치함을 알 수 있다.

표 2: Fundamental frequency for delamination along interface 1

a (inch)	Exp[2]	Anal[2]	Present
0	79.875	82.042	81.8983
1	79.126	80.133	81.1970
2	75.000	75.285	76.5937
3	66.250	66.936	67.4532
4	57.502	57.239	56.7837

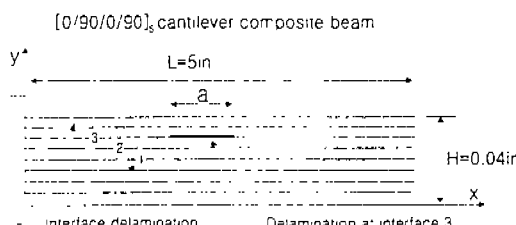


그림 3: 복합재 외팔보의 형상

## 6. 결 론

본 연구에서는 다층간 분리부가 있는 복합재 적층평판의 동적해석을 위한 효율적인 고차 저주파수 해석법을 개발하였다. 기존의 다른 이론들과 비교할 때 본 이론은 최소한의 자유도만을 가지므로 매우 간편하고 정확하게 분리부의 거동을 모사할 수 있다. 본 방법은 유한요소로 구현하였을 때도 매우 체계적으로 분리부의 거동을 모사할 수 있고 그 정확성은 수치예를 통해서 검증되었다.

표 3: Fundamental frequency for delamination along interface 2

a (inch)	Exp[2]	Anal[2]	Present
0	79.875	82.042	81.8983
1	78.375	81.385	81.2476
2	75.250	78.103	76.9627
3	70.001	71.159	68.3031
4	49.751	62.121	57.9525

증되었다. 상대적으로 작은 수의 자유도만으로도 자유진동 해석을 할 수 있으므로 본 방법은 복합재 적층 구조물의 층간분리부의 좌굴, 후좌굴 및 성장거동에도 강력한 도구가 될 수 있을 것으로 판단된다. 앞으로 이 이론을 확장하여 후좌굴해석, 층간분리부의 성장거동 예측, 그리고 동적인 응답 해석 등에 적용할 예정이다.

표 4: Fundamental frequency for delamination along interface 3

a (inch)	Exp[2]	Anal[2]	Present
0	79.875	82.042	81.8983
1	80.125	81.461	81.7226
2	81.875	79.932	80.4715
3	77.125	76.712	77.2762
4	73.627	71.663	71.5239

## 참고문헌

<sup>1</sup> Wang, J.T.S. and Gibby, J.A., "Vibrations of split beams," *Journal of Sound and Vibration*, Vol. 84, No. 4, 1982, pp. 491-502.

<sup>2</sup> Shen, M.-H. H. and Grady, J.E., "Free Vibrations of Delaminated Beams," *AIAA Journal*, Vol. 30, No. 5, 1992, pp. 1361-1370.

<sup>3</sup> Ratcliffe, C.P. and Bagaria, W.J., "Vibration Technique for Location Delamination in a Composite Beam," *AIAA Journal*, Vol. 36, No. 6, 1998, pp. 1074-1077.

<sup>4</sup> Lee, J., "Vibration, Buckling and Postbuckling of Laminated Composites with Delaminations," Ph.D. Dissertation, Virginia Polytech Institute and State University, 1989

<sup>5</sup> Seeley, C.E and Chattopadhyay, A., "Modeling of adaptive composites including debonding," *Int. J. of Solids and Structures*, 1999, pp.1823-1843

<sup>6</sup> Maenghyo Cho, Jun-Sik Kim, "Bifurcation Buckling Analysis of Delaminated Composites Using Global-Local Approach," *AIAA Journal*, Vol. 35, No. 10, 1997, pp.1673-1676.

<sup>7</sup> Maenghyo Cho, R.Reid Parmerter, "An Efficient Higher-order Plate Theory for Laminated Composites," *Composite Structures*, Vol. 20, 1992, pp.113-123.